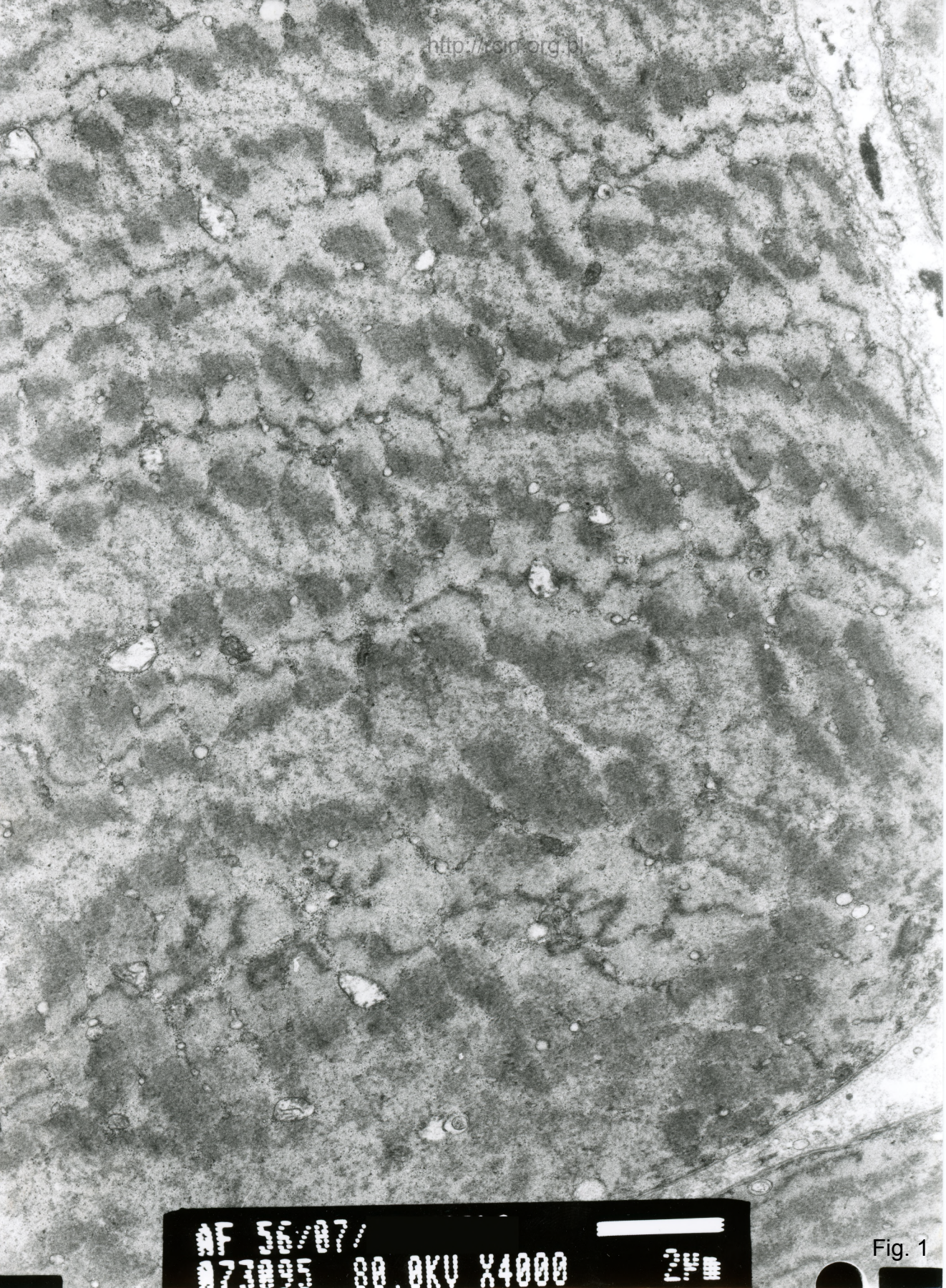


56/07 mięsień szkieletowy, patrz też 55/07 mięsień serca

Rozpoznanie:

Analiza ultrastrukturalna wykazała znaczne zmiany w obrębie miocytów. Struktura sarkomerów była zatarta, widoczne były również uszkodzone, pozbawione grzebieni mitochondria (Fig. 1). Obserwowano znaczne zmiany ultrastrukturalne w jądrach komórek mięśniowych. Niektóre jądra miały nieregularny kształt (Fig. 2), w innych błona jądrowa była przerwana (Fig. 3,4). W biopsacie widoczne były wakuole (Fig. 5).

Ultrastructural analysis revealed significant changes within myocytes. The structure of the sarcomeres was blurred and damaged mitochondria lacking mitochondrial cristae were seen (Fig. 1). Significant ultrastructural changes were observed also within muscle cell nuclei. Some nuclei were irregularly shaped (Fig. 2), in others breaks in the nuclear membrane were present (Figs. 3,4). Vacuoles were visible in the biopsy (Fig. 5).



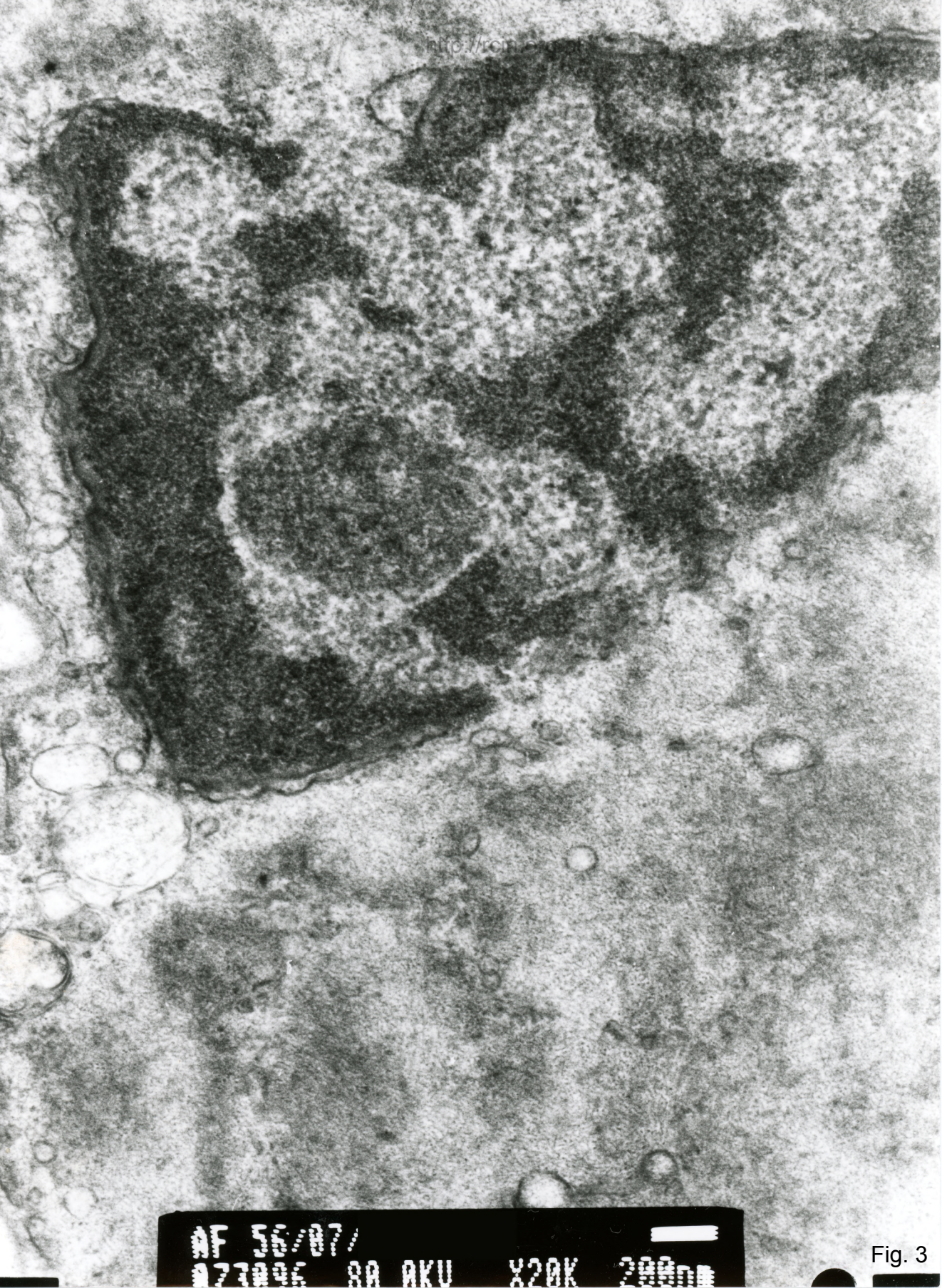
007 007 007
007 007 007
80.0KV X4000

Fig. 1



AF 56/07/
073097 80.0KV X15K 500nm

Fig. 2



http://rcn.org

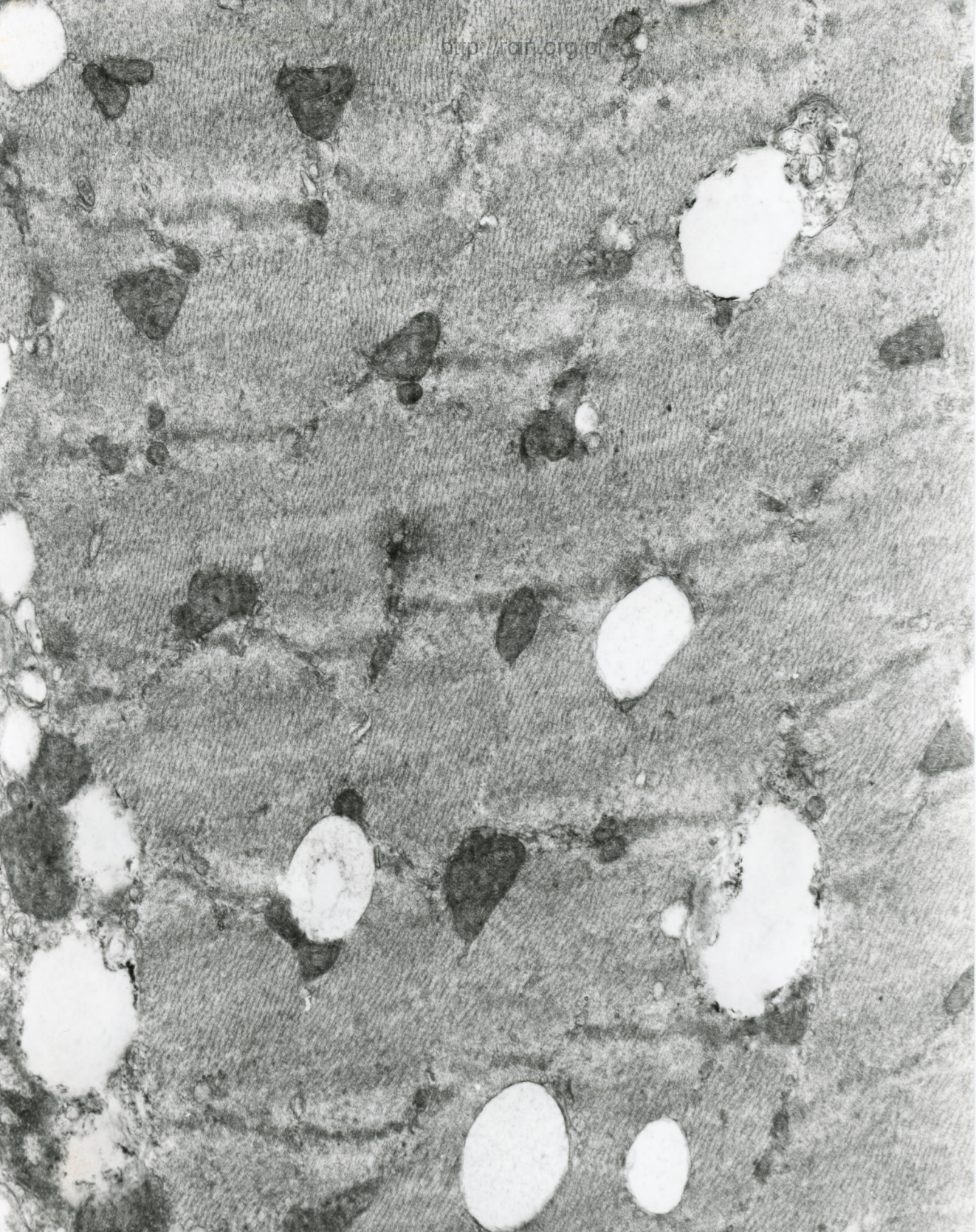
AF 56/07/
073006 SA AKU X20K 200nm

Fig. 3



AF 56/07/
073098 80.0KV X20K 200nm

Fig. 4



AF 56/07/
073099 80.0KV X10K 500nm

Fig. 5